



# Propiedades de los caminos de costo mínimos desde un vértice fuente fijo y algoritmo de Bellman-Ford

---

Guillermo Palma

Universidad Simón Bolívar

Departamento de Computación y Tecnología de la Información

## Plan

1. Definiciones básicas
2. Estructuras
3. Representación
4. Propiedades
5. Algoritmo de Bellman-Ford



## Definiciones básicas

---

### Caminos de costo mínimo

#### Definición de camino de costo mínimo

Dado un grafo  $G = (V, E)$ , con una función de costo  $w : E \rightarrow \mathbb{R}$  que asigna un costo real a cada uno de los lados del grafo. El costo  $w(p)$  del camino  $p = \langle v_0, v_1, \dots, v_k \rangle$  es la suma de los costos de los lados del camino, es decir:

$$w(p) = \sum_{i=1}^k w(v_{i-1}, v_i)$$

Se define el **camino de costo mínimo**  $\delta(u, v)$  desde el vértice  $u$  hasta el vértice  $v$  como:

$$\delta(u, v) = \begin{cases} \text{mín}\{w(p) : u \overset{p}{\rightsquigarrow} v\} & \text{si existe un camino } p \text{ desde } u \text{ hasta } v \\ \infty & \text{en caso contrario} \end{cases}$$



## Definición del problema de los caminos de costo mínimos desde un vértice fuente fijo

Dado un grafo  $G = (V, E)$ , con una función de costo  $w : E \rightarrow \mathbb{R}$  que asigna un costo real a cada uno de los lados del grafo y dado un vértice fuente fijo  $s \in V$ . Se define **el problema de los caminos de costo mínimos desde un vértice fuente fijo**, como el encontrar todos los caminos de costo mínimo  $\delta(s, v)$  desde el vértice  $s \in V$  hasta cada uno de los vértices  $v \in V$  de  $G$ .



## Variantes de problemas de caminos de costo mínimos

Problemas que son variantes del problema de los caminos de costo mínimos desde un vértice fuente fijo:

- Caminos de costo mínimos hasta un vértice destino fijo.
- Caminos de costo mínimos entre todos los pares de vértices.



# Estructuras

---

## Subestructura óptima de los caminos de costo mínimo

### Lema 1 (Los subcaminos de los caminos de costo mínimos son caminos de costo mínimos)

Dado un digrafo  $G = (V, E)$  con una función de costo  $w : E \rightarrow \mathbb{R}$  que asigna un costo real a cada uno de los lados del grafo, sea  $p = \langle v_0, v_1, \dots, v_k \rangle$  el camino de costo mínimo desde  $v_0$  hasta  $v_k$ , y para cualquier  $i, j$  tal que,  $0 \leq i \leq j \leq k$ , sea  $p_{ij} = \langle v_i, v_{i+1}, \dots, v_j \rangle$  el subcamino de  $p$  desde el vértice  $v_i$  hasta el vértice  $v_j$ . Entonces,  $p_{ij}$  es un camino de costo mínimo desde  $v_i$  hasta  $v_j$ .



## Prueba del Lema 1

Por contradicción.

- Se descompone el camino  $p$  en tres caminos  $v_0 \xrightarrow{p_{0i}} v_i \xrightarrow{p_{ij}} v_j \xrightarrow{p_{jk}} v_k$ .
- Entonces,  $w(p) = w(p_{0i}) + w(p_{ij}) + w(p_{jk})$ .
- Si  $p_{ij}$  no es un camino de costo mínimo, entonces existe un camino  $p'_{ij}$ , tal que  $w(p'_{ij}) < w(p_{ij})$ .
- En consecuencia, existe un camino  $p'$  de la forma  $v_0 \xrightarrow{p_{0i}} v_i \xrightarrow{p'_{ij}} v_j \xrightarrow{p_{jk}} v_k$ , tal que  $w(p') = w(p_{0i}) + w(p'_{ij}) + w(p_{jk})$ .
- Entonces,  $w(p') < w(p)$  lo cual es una contradicción porque  $p$  es un camino de costo mínimo.
- Por lo tanto,  $p_{ij}$  es un camino de costo mínimo.  $\square$



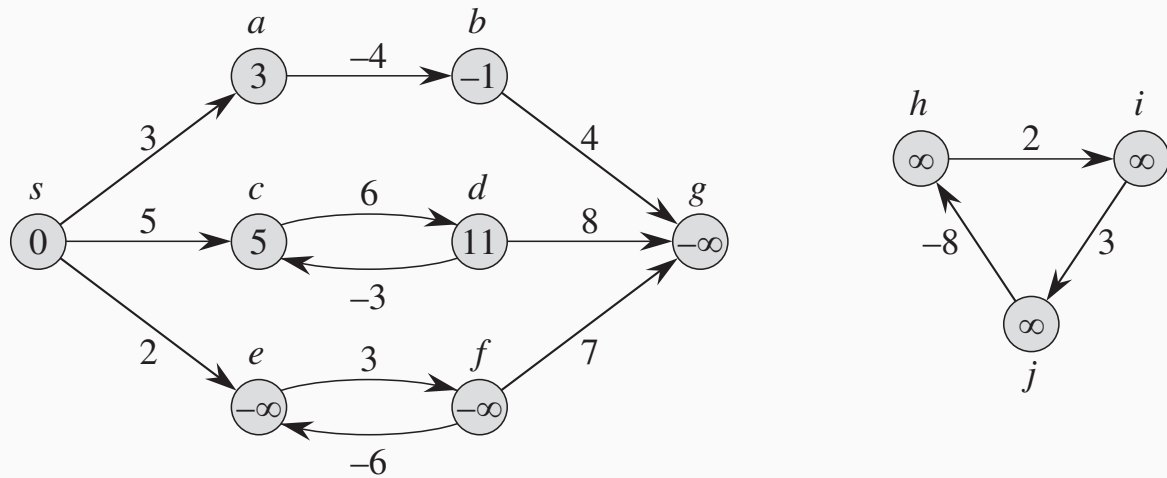
## Lados de costo negativo

Dado un grafo  $G = (V, E)$  con una función de costo  $w : E \rightarrow \mathbb{R}$ , y dado un vértice fuente fijo  $s \in V$ , se tiene que:

- Llamamos a un ciclo de  $G$ , un ciclo negativo si la suma de los costos de lados que lo componen es un número negativo.
- Si  $G$  no contiene ciclos negativos en los caminos hasta los vértices  $v \in V$  que son alcanzables, entonces se dice que los caminos de costo mínimo  $\delta(s, v)$  están bien definidos.
- En caso contrario, se tiene que los caminos de costo mínimo no están bien definidos y  $\delta(s, v) = -\infty$ .
- Observe que  $G$  **puede tener lados con costo negativo, pero no un ciclo negativo.**



## Ejemplo de lados y ciclos de costo negativo



**Figura 1:** Digrafo con lados con costo negativo y un ciclo negativo. Fuente [?]



## Ciclos en caminos de costo mínimo

- Los caminos de costo mínimo no pueden contener ciclos negativos.
- Los caminos de costo mínimo no deben contener ciclos positivos:
  - Si tuviera un ciclo con costo positivos, entonces se elimina el ciclo y se tiene un camino de costo menor
  - Si tuviera un ciclo con costo cero, entonces se elimina el ciclo y se tiene un camino de igual costo.
- En conclusión, **los caminos de costo mínimo son caminos simples.**



# Representación

---

## Subgrafo predecesor

Se usa el subgrafo predecesor definido para la *búsqueda en amplitud*, para representar los caminos parciales y finales de los algoritmos que obtienen los caminos de costo mínimo.

### Definición subgrafo predecesor

Sea  $G = (V, E)$  un digrafo o un grafo no dirigido con vértice fuente  $s$ , tal que  $s \in V$ . Se define el **subgrafo predecesor** como:

$G_{pred} = (V_{pred}, E_{pred})$  donde:

- $V_{pred} = \{v \in V : v.pred \neq NIL\} \cup \{s\}$ .
- $E_{pred} = \{(v_{pred}, v) : v \in V_{pred} - \{s\}\}$ .



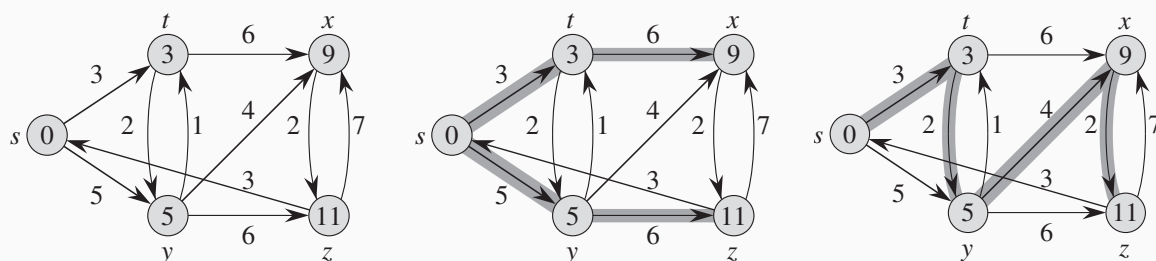
## Definición árbol de caminos de costo mínimo

Dado un digrafo  $G = (V, E)$ , con una función de costo  $w : E \rightarrow \mathbb{R}$  que asigna un costo real a cada uno de los lados del digrafo y dado un vértice fuente fijo  $s \in V$ . El digrafo  $G$  no tiene ciclos negativos. Se define un **árbol de caminos de costo mínimo** con raíz  $s$ , como digrafo  $G = (V', E')$ , donde  $V' \subseteq V$  y  $E' \subseteq E$ , tal que:

1.  $V'$  es el conjunto de vértices alcanzables desde  $s$ .
2.  $G'$  es un árbol con raíz  $s$ .
3. Para todo  $v \in V$  el único camino simple desde  $s$  hasta  $v$  en  $G'$ , es el camino de costo mínimo  $\delta(s, v)$  en  $G$ .



## Ejemplo de árboles de caminos de costo mínimo



(a) Digrafo con vértice fuente  $s$  y costo en los lados.

(b) Primer árbol de caminos de costo mínimo.

(c) Segundo árbol de caminos de costo mínimo.

**Figura 2:** Se muestran dos posibles árboles de caminos de costo mínimo. Fuente [?].





## Relajación del costo de un lado

- Cada vértice tiene un atributo  $v.d$  que guarda una cota superior del camino de costo mínimo desde  $s$  hasta  $v$ .
- Se llama a  $v.d$ , el **estimado del camino de costo mínimo**.
- Los valores  $v.d$  y  $v.pred$  se inicializan con el procedimiento INICIALIZAR-FUENTE-FIJA.
- La relajación de un lado  $(u, v)$ , consiste en ver si yendo por ese lado hasta  $v$ , se mejora el valor de  $v.d$  hasta ahora.



## Inicialización de los costos y predecesores

---

### Procedimiento Inicializar-fuente-fija( $G=(V, E), s$ )

---

```
1 inicio
2   para cada ( $v \in V$ ) hacer
3        $v.d \leftarrow \infty$ ;
4        $v.pred \leftarrow NIL$ ;
5    $s.d \leftarrow 0$ ;
```

---



---

**Procedimiento** Relajacion( $u, v, w$ )

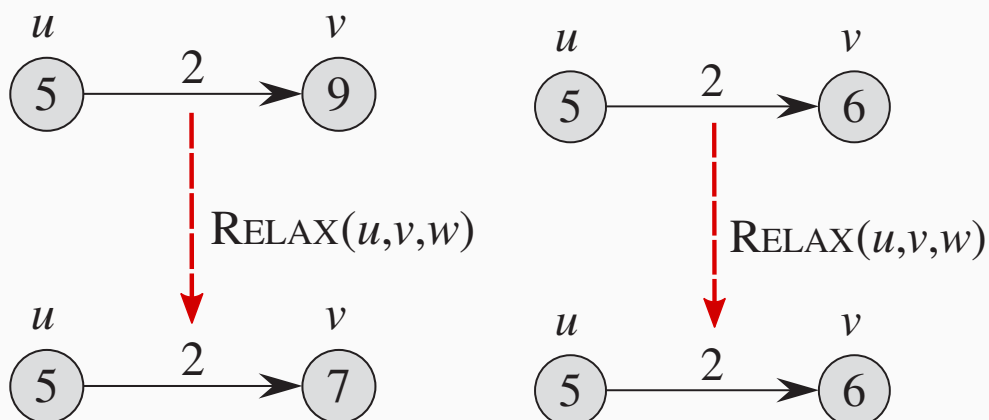
---

```
1 inicio
2   si  $(v.d > u.d + w(u, v))$  entonces
3      $v.d \leftarrow u.d + w(u, v);$ 
4      $v.pred \leftarrow u;$ 
```

---



## Ejemplos de relajación de lados



(a) Se actualiza  $v.d$  porque  $(v.d > u.d + w(u, v))$ .  
(b) No se actualiza  $v.d$  porque  $(v.d \leq u.d + w(u, v))$ .

**Figura 3:** Dos ejemplos de relajación del lado  $(u, v)$  con  $w(u, v) = 2$ . El número de los vértices, es el costo hasta ahora del camino hasta esos vértices, es decir  $v.d$  Fuente [?].



# Propiedades

---

## Sobre las propiedades de los caminos de costo mínimo

- Las propiedades son la base para mostrar el funcionamiento de los algoritmos de caminos de costo mínimo.
- Se asume que cada grafo es inicializado por el procedimiento INICIALIZAR-FUENTE-FIJA.
- Se asume que el procedimiento RELAJACION es el que se usa para actualizar los valores estimados de los caminos de costo mínimo y los predecesores.
- Se asume que si dado un número real  $a$ , se cumple que:
  - $a + \infty = \infty + a = \infty$ .
  - $a + (-\infty) = (-\infty) + a = -\infty$ .



## Lema 2 (Desigualdad triangular)

Dado un digrafo  $G = (V, E)$ , con una función de costo  $w : E \rightarrow \mathbb{R}$  que asigna un costo real a cada uno de los lados del digrafo y dado un vértice fuente fijo  $s \in V$ . Entonces para todos los lados  $(u, v) \in E$  se cumple que  $\delta(s, v) \leq \delta(s, u) + w(u, v)$ .



## Desigualdad triangular, cont.

### Prueba del Lema 2

**Caso 1 existe  $s \rightsquigarrow v$ :** se tiene  $\delta(s, v)$  de  $s \rightsquigarrow v$ . Se tiene que  $s \rightsquigarrow u \rightarrow v$  es un camino hasta  $v$  y su costo es  $\delta(s, u) + w(u, v)$ . Como  $\delta(s, v)$  es el costo mínimo hasta  $v$ , entonces  $\delta(s, v) \leq \delta(s, u) + w(u, v)$ .

**Caso 2 no existe  $s \rightsquigarrow v$ :** se tiene que  $\delta(s, v) = \infty$ . En consecuencia, el camino hasta  $v$  dado por  $s \rightsquigarrow u \rightarrow v$  tampoco existe, entonces  $\delta(s, u) + w(u, v) = \infty$ . Por lo tanto, se cumple porque  $\infty = \infty$ .

**Caso 3 hay un ciclo negativo en  $s \rightsquigarrow v$ :** se tiene que  $\delta(s, v) = -\infty$ . En  $s \rightsquigarrow u \rightarrow v$  también hay un ciclo negativo, entonces  $\delta(s, u) + w(u, v) = -\infty$ . Por lo tanto, se cumple porque  $-\infty = -\infty$ .



## Lema 3 (Propiedad de la cota superior)

Dado un digrafo  $G = (V, E)$ , con una función de costo  $w : E \rightarrow \mathbb{R}$  que asigna un costo real a cada uno de los lados del digrafo y dado un vértice fuente fijo  $s \in V$ . Sea  $G$  inicializado con el procedimiento INICIALIZAR-FUENTE-FIJA( $G, s$ ). Entonces,  $\delta(s, v) \leq v.d$  para todo  $v \in V$ , y este invariante es mantenido sobre cualquier secuencia de pasos de relajación de lados de  $G$ . Además, una vez que  $v.d$  alcanza su cota inferior  $\delta(s, v)$ , esta nunca cambia.



## Propiedad de la cota superior, cont.

### Prueba del Lema 3

- Con INICIALIZAR-FUENTE-FIJA se cumple que  $\delta(s, v) \leq v.d$  para todo  $v \in V$ .
- Por contradicción, suponemos que existe un vértice  $v.d < \delta(s, v)$ .
- Sea  $v$  es el primer vértice que ocurre esto y  $u$  que hace  $v.d$  cambie.
- Se tiene que  $v.d = u.d + w(u, v)$ .
- 

$$\begin{aligned} v.d &< \delta(s, v) \\ &\leq \delta(s, u) + w(u, v) \text{ (des. triangular)} \\ &\leq u.d + w(u, v) \text{ (} v \text{ es el primer vértice que } v.d < \delta(s, v) \text{)} \end{aligned}$$

Entonces,  $v.d < u.d + w(u, v)$  lo cual es una contradicción.

- No hay valor menor que  $\delta(s, v)$  y no aumenta porque la relajación no aumenta valor.  $\square$



## Corolario 1 (Propiedad de ningún camino)

Dado un digrafo  $G = (V, E)$ , con una función de costo  $w : E \rightarrow \mathbb{R}$  que asigna un costo real a cada uno de los lados del digrafo y dado un vértice fuente fijo  $s \in V$ , tal que no existe un camino que conecte a  $s$  con cualquier vértice  $v \in V$ . Entonces, después que el grafo es inicializado con el procedimiento INICIALIZAR-FUENTE-FIJA( $G, s$ ), se tiene que  $v.d = \delta(s, v) = \infty$ , y esta igualdad es mantenida sobre cualquier secuencia de pasos de relajación de los lados de  $G$ .

## Prueba del Colorado 1

Por propiedad de la cota superior se tiene que  $v.d \geq \delta(s, v) = \infty$ , por lo tanto  $v.d = \infty$ .  $\square$



# Sobre la relajación de lados

## Lema 4

Dado un digrafo  $G = (V, E)$ , con una función de costo  $w : E \rightarrow \mathbb{R}$  que asigna un costo real a cada uno de los lados del digrafo y sea un lado  $(u, v) \in E$ . Entonces, después de relajar el lado  $(u, v)$  por ejecutar RELAJACION( $u, v, w$ ), se tiene que  $v.d \leq u.d + w(u, v)$ .

## Prueba del Lema 4

Hay dos casos que pueden ocurrir antes de la relajación

**Caso 1**  $v.d > u.d + w(u, v)$ : entonces se aplica la relajación y queda  $v.d = u.d + w(u, v)$

**Caso 2**  $v.d \leq u.d + w(u, v)$ : entonces no se aplica la relajación y queda  $v.d \leq u.d + w(u, v)$



## Lema 5 (Propiedad de la convergencia)

Dado un digrafo  $G = (V, E)$ , con una función de costo  $w : E \rightarrow \mathbb{R}$  que asigna un costo real a cada uno de los lados del digrafo y dado un vértice fuente fijo  $s \in V$ . Sea  $s \rightsquigarrow u \rightarrow v$  el camino más corto en  $G$  hasta los vértices  $u, v \in V$ . Suponga que  $G$  es inicializado con el procedimiento INICIALIZAR-FUENTE-FIJA( $G, s$ ) y entonces se aplica una secuencia de pasos de relajación que incluye la llamada a RELAJACION( $u, v, w$ ) sobre los lados de  $G$ . Si  $u.d = \delta(s, u)$  antes de la llamada a la relajación, entonces  $v.d = \delta(s, v)$  todo el tiempo después de la llamada.



## Propiedad de la convergencia, cont.

### Prueba del Lema 5

- Después de la relajación se tiene que:

- 

$$\begin{aligned} v.d &\leq u.d + w(u, v) \text{ (Por Lema 4 (relajación de lados))} \\ &= \delta(s, u) + w(u, v) \\ &= \delta(s, v) \text{ (Por Lema 1)} \end{aligned}$$

- Se tiene que  $v.d \geq \delta(s, v)$  (Por Lema 3 (propiedad de la cota superior)).
- Por lo tanto  $v.d = \delta(s, v)$   $\square$



## Lema 6 (Propiedad de la relajación del camino)

Dado un digrafo  $G = (V, E)$ , con una función de costo  $w : E \rightarrow \mathbb{R}$  que asigna un costo real a cada uno de los lados del digrafo y dado un vértice fuente fijo  $s \in V$ . Considere el camino de costo mínimo  $p = \langle v_0, v_1, \dots, v_k \rangle$  desde  $s = v_0$  hasta  $v_k$ . Si  $G$  es inicializado con el procedimiento INICIALIZAR-FUENTE-FIJA( $G, s$ ) y entonces se aplica una secuencia de pasos de relajación, que incluye la relajación de los siguientes lados en orden  $(v_0, v_1), (v_1, v_2), \dots, (v_{k-1}, v_k)$ , entonces  $v_k.d = \delta(s, v_k)$  después de las relajaciones y todo el tiempo después. Esta propiedad se mantiene sin importar que otras relajaciones se efectúen, incluyendo relajaciones que incluyan algunos de los lados de  $p$ .



## Propiedad de la relajación del camino, cont.

### Prueba del Lema 6 (Propiedad de la relajación del camino)

Se prueba por inducción para mostrar que  $v_i.d = \delta(s, v_i)$ , después de que el lado  $(v_{i-1}, v_i)$  es relajado.

**Caso base:**  $i = 0$  entonces  $v_0.d = 0 = \delta(s, v_0) = \delta(s, s)$

**Paso inductivo:**

- Se asume como cierto que  $v_{i-1}.d = \delta(s, v_{i-1})$
- Se relaja el lado  $(v_{i-1}, v_i)$
- Por Lema 5 (Propiedad de la convergencia)  
 $v_i = \delta(s, v_i)$  y su valor nunca cambia después.  $\square$





# Algoritmo de Bellman-Ford

---

## Sobre el algoritmo de Bellman-Ford

- El algoritmo resuelve el problema de encontrar los caminos de costo mínimo desde un vértice  $s$  fuente fijo, en un digrafo  $G = (V, E)$ .
- Se tiene como entrada un digrafo  $G$  con costos y una función de costo sobre los lados  $w : E \rightarrow \mathbb{R}$ .
- El algoritmo retorna un *True* si  $G$  no tiene un ciclo negativo alcanzable desde  $s$ , y *False* en caso contrario.
- El algoritmo aplica la relajación de lados  $(u, v) \in E$  progresivamente para disminuir los valores de  $v.d$ .
- La relajación se aplica a todos los lados para cada vértices  $v \in V$  para obtener  $v.d = \delta(s, v)$ .
- Se alcanza los caminos de costo mínimo desde  $s$  hasta todos los vértices  $v \in V$ , si no existe un ciclo negativo alcanzable desde  $s$ .
- El algoritmo permite obtener los caminos de costo mínimo en grafos con lados negativos y sin ciclos negativos.



# Algoritmo de Bellman-Ford

---

**Función** Bellman-Ford( $G=(V, E), w, s$ )

---

```
1 inicio
2   Inicializar-fuente-fija( $G, s$ );
3   para  $i \leftarrow 1$  a  $|V| - 1$  hacer
4     para cada  $(u, v) \in E$  hacer
5       Relajacion( $u, v, w$ )
6   para cada  $(u, v) \in E$  hacer
7     si  $v.d > u.d + w(u, v)$  entonces
8       devolver False ;
9   devolver True ;
```

---

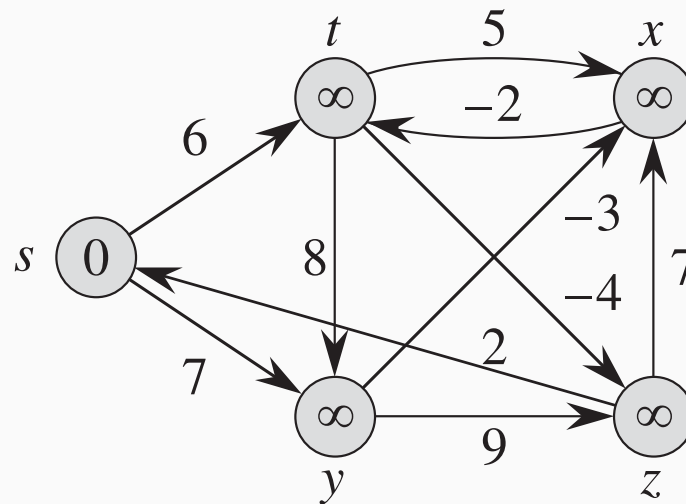


## Análisis del algoritmo de Bellman-Ford

- El procedimiento Inicializar-fuente-fija es  $\Theta(|V|)$ .
- Las líneas 3-5 son  $O(|V||E|)$ .
- Las líneas 6-8 son  $O(|E|)$ .
- Por lo tanto, el algoritmo de Bellman-Ford es  $O(|V||E|)$ .



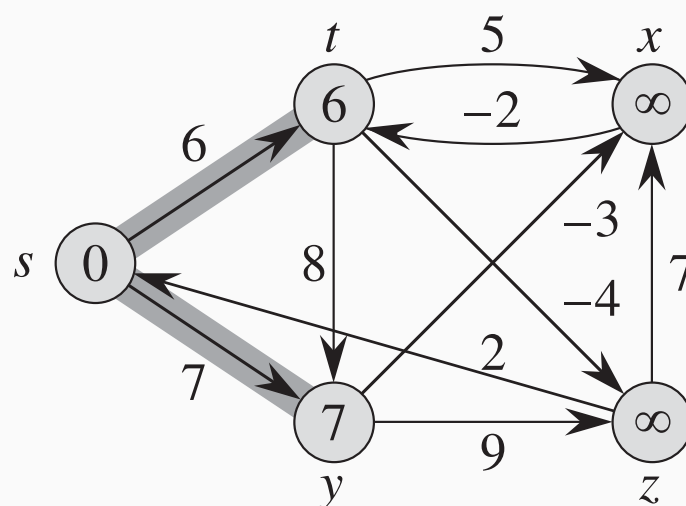
## Ejemplo del algoritmo de Bellman-Ford



**Figura 4:** Se aplica el procedimiento INICIALIZAR-FUENTE-FIJA al grafo de entrada. Fuente [?]



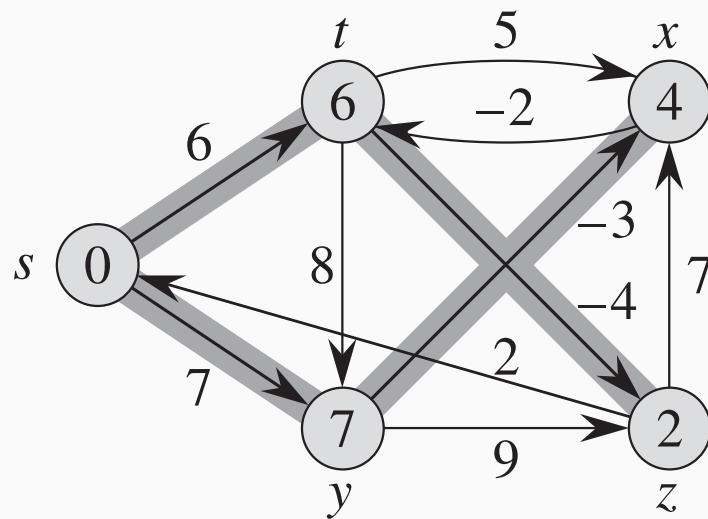
## Ejemplo del algoritmo de Bellman-Ford, cont.



**Figura 5:** Se aplica RELAJACION para  $i = 1$ . El orden de los lados son relajados es  $(t, x)$ ,  $(t, y)$ ,  $(t, z)$ ,  $(x, t)$ ,  $(y, x)$ ,  $(y, z)$ ,  $(z, x)$ ,  $(z, s)$ ,  $(s, t)$  y  $(s, y)$ . Fuente [?]



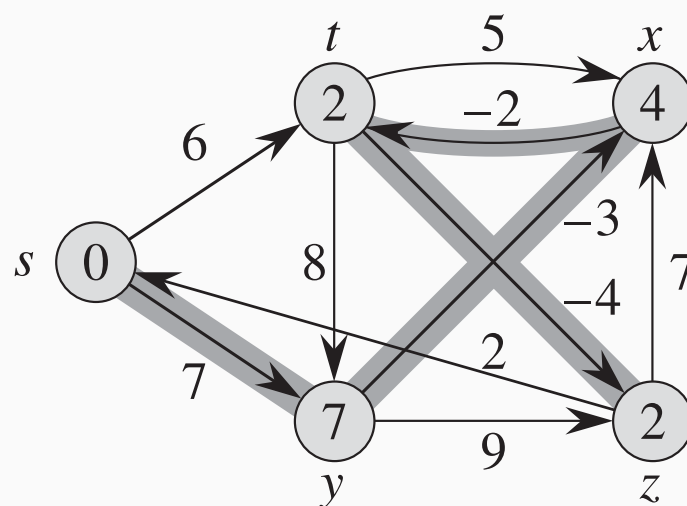
## Ejemplo del algoritmo de Bellman-Ford, cont.



**Figura 6:** Se aplica RELAJACION para  $i = 2$ . El orden de los lados son relajados es  $(t, x)$ ,  $(t, y)$ ,  $(t, z)$ ,  $(x, t)$ ,  $(y, x)$ ,  $(y, z)$ ,  $(z, x)$ ,  $(z, s)$ ,  $(s, t)$  y  $(s, y)$ . Fuente [?]



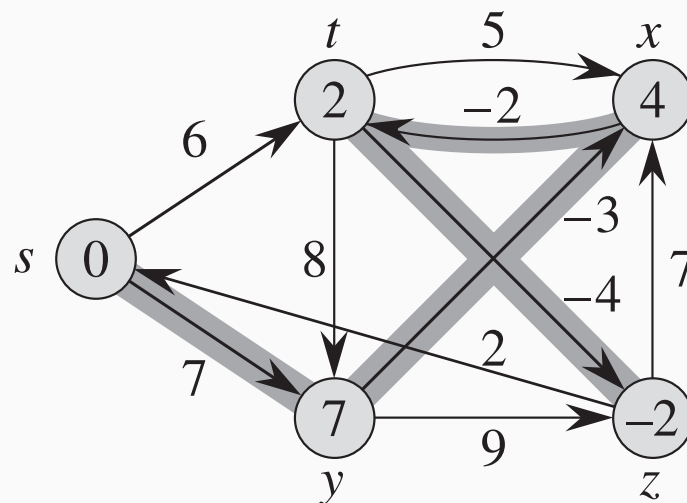
## Ejemplo del algoritmo de Bellman-Ford, cont.



**Figura 7:** Se aplica RELAJACION para  $i = 3$ . El orden de los lados son relajados es  $(t, x)$ ,  $(t, y)$ ,  $(t, z)$ ,  $(x, t)$ ,  $(y, x)$ ,  $(y, z)$ ,  $(z, x)$ ,  $(z, s)$ ,  $(s, t)$  y  $(s, y)$ . Fuente [?]



## Ejemplo del algoritmo de Bellman-Ford, cont.



**Figura 8:** Se aplica RELAJACION para  $i = 4$ . El orden de los lados son relajados es  $(t, x)$ ,  $(t, y)$ ,  $(t, z)$ ,  $(x, t)$ ,  $(y, x)$ ,  $(y, z)$ ,  $(z, x)$ ,  $(z, s)$ ,  $(s, t)$  y  $(s, y)$ . Fuente [?]



## Obteniendo los caminos de costo mínimo

### Lema 7

Dado un digrafo  $G = (V, E)$ , con una función de costo  $w : E \rightarrow \mathbb{R}$  que asigna un costo real a cada uno de los lados del grafo y dado un vértice fuente fijo  $s \in V$ , tal que no hay ciclos negativos que sean alcanzables desde el vértice  $s$ . Entonces, después de  $|V| - 1$  iteraciones del ciclo **para** de las líneas 3-5 del algoritmo de BELLMAN-FORD, se obtiene que  $v.d = \delta(s, v)$  para todos los vértices  $v$  que son alcanzables desde  $s$ .



### Prueba del Lema 7

- Sea un  $v \in V$  un vértice cualquiera.
- Sea  $p = \langle v_0, v_1, \dots, v_k \rangle$ , donde  $s = v_0$  y  $v_k = v$ , el camino más corto desde  $s$  hasta  $v$ .
- $p$  tiene a lo sumo  $|V| - 1$  lados, entonces  $k \leq |V| - 1$ .
- Las líneas 3-5 del algoritmo de BELLMAN-FORD relajan todos los lados por  $|V| - 1$  iteraciones.
- Entre los lados relajados en la  $i$ -ésima iteración, para  $i = 1, 2, \dots, k$  esta  $(v_{i-1}, v_i)$ .
- Por *propiedad de la relajación del camino*, entonces  $v.d = v_k.d = \delta(s, v_k) = \delta(s, v)$ .  $\square$



## Obteniendo los caminos de costo mínimo

### Corolario 2

Dado un digrafo  $G = (V, E)$ , con una función de costo  $w : E \rightarrow \mathbb{R}$  que asigna un costo real a cada uno de los lados del grafo y dado un vértice fuente fijo  $s \in V$ , tal que no hay ciclos negativos que sean alcanzables desde el vértice  $s$ . Entonces, para cada vértice  $v \in V$ , existe un camino desde  $s$  hasta  $v$  si solo si, el algoritmo BELLMAN-FORD termina con  $v.d \leq \infty$  cuando se ejecuta sobre  $G$ .



## Lema 8 (Propiedad subgrafo-predecesor)

Una vez que  $v.d = \delta(s, v)$  para todo  $v \in V$ , el subgrafo predecesor es un árbol de caminos de costo mínimo con raíz en  $s$ .



# Correctitud del algoritmo de Bellman-Ford

## Teorema Correctitud del algoritmo de Bellman-Ford

Sea el algoritmo `BELLMAN-FORD` ejecutado sobre un digrafo  $G = (V, E)$ , con una función de costo  $w : E \rightarrow \mathbb{R}$  que asigna un costo real a cada uno de los lados del grafo y dado un vértice fuente fijo  $s \in V$ , tal que no hay ciclos negativos que sean alcanzables desde el vértice  $s$ . Entonces, el algoritmo retorna *True*, y se tiene que  $v.d = \delta(s, v)$  para todos los vértices  $v \in V$ , y el subgrafo predecesor  $G_{pred}$  es un árbol de caminos de costo mínimos con raíz  $s$ . Si  $G$  contiene un ciclo negativo alcanzable desde el vértice  $s$ , entonces el algoritmo retorna *False*.



## Prueba de la correctitud del algoritmo de Bellman-Ford

Caso 1: Tenemos un digrafo  $G$  sin ciclos negativos alcanzables desde  $s$ .

- Si existe un camino desde  $s$  cualquier vértice  $v \in V$  se cumple por Lema 7  $v.d = \delta(s, v)$ .
- Si no existe un camino desde  $s$  cualquier vértice  $v \in V$  por Propiedad de ningún camino se cumple que  $v.d = \delta(s, v) = \infty$ .
- Entonces, cuando el algoritmo termina:

- Para cualquier  $v \in V$  se cumple que  $v.d = \delta(s, v)$ .

- Por propiedad subgrafo-predecesor se obtiene un árbol de caminos de costo mínimo con raíz en  $s$ .

- Para todos los lados  $(u, v) \in E$ :

$$\begin{aligned} v.d &= \delta(s, v) \\ &\leq \delta(s, u) + w(u, v) \text{ (desigualdad triangular)} \\ &= u.d + w(u, v) \end{aligned}$$

- En consecuencia, para el caso 1 el algoritmo siempre retorna *True*.



## Prueba de la correctitud del algoritmo de Bellman-Ford, cont.

Caso 2: Tenemos un digrafo  $G$  con ciclos negativos alcanzables desde  $s$ .

- Sea el ciclo negativo  $c = \langle v_0, v_1, \dots, v_k \rangle$ , donde  $v_0 = v_k$ , entonces

$$\sum_{i=1}^k w(v_{i-1}, v_i) < 0 \quad (1)$$

- Probamos por contradicción, el algoritmo retorna *True*, entonces  $v_i.d \leq v_{i-1}.d + w(v_{i-1}, v_i)$  para  $i = 1, 2, \dots, k$ .

- Sumando las desigualdades en el ciclo:  $\sum_{i=1}^k v_i.d \leq \sum_{i=1}^k (v_{i-1}.d + w(v_{i-1}, v_i)) = \sum_{i=1}^k v_{i-1}.d + \sum_{i=1}^k w(v_{i-1}, v_i)$ .

- Como  $v_0 = v_k$ , cada vértice aparece una vez en la suma  $\sum_{i=1}^k v_i.d$  y  $\sum_{i=1}^k v_{i-1}.d$  y se tiene que  $\sum_{i=1}^k v_i.d = \sum_{i=1}^k v_{i-1}.d$ .

- Por Corolario 2.  $v_i.d$  es finito para  $i = 1, 2, \dots, k$ , entonces:

$$0 \leq \sum_{i=1}^k w(v_{i-1}, v_i) \quad (2)$$

- Las ecuaciones 1 y 2 son contradictorias.

- Por lo tanto, el algoritmo retorna *False* en el caso 2.  $\square$





- [1] T. Cormen, C. Leirserson, R. Rivest, and C. Stein.  
**Introduction to Algorithms.**  
McGraw Hill, 3ra edition, 2009.

